

ВЛИЯНИЕ МНОГОКРАТНОГО РАССЕЯНИЯ НА ПИ И ДПИ РЕЛЯТИВИСТСКОГО ЭЛЕКТРОНА В ПЕРИОДИЧЕСКОЙ СЛОИСТОЙ СРЕДЕ

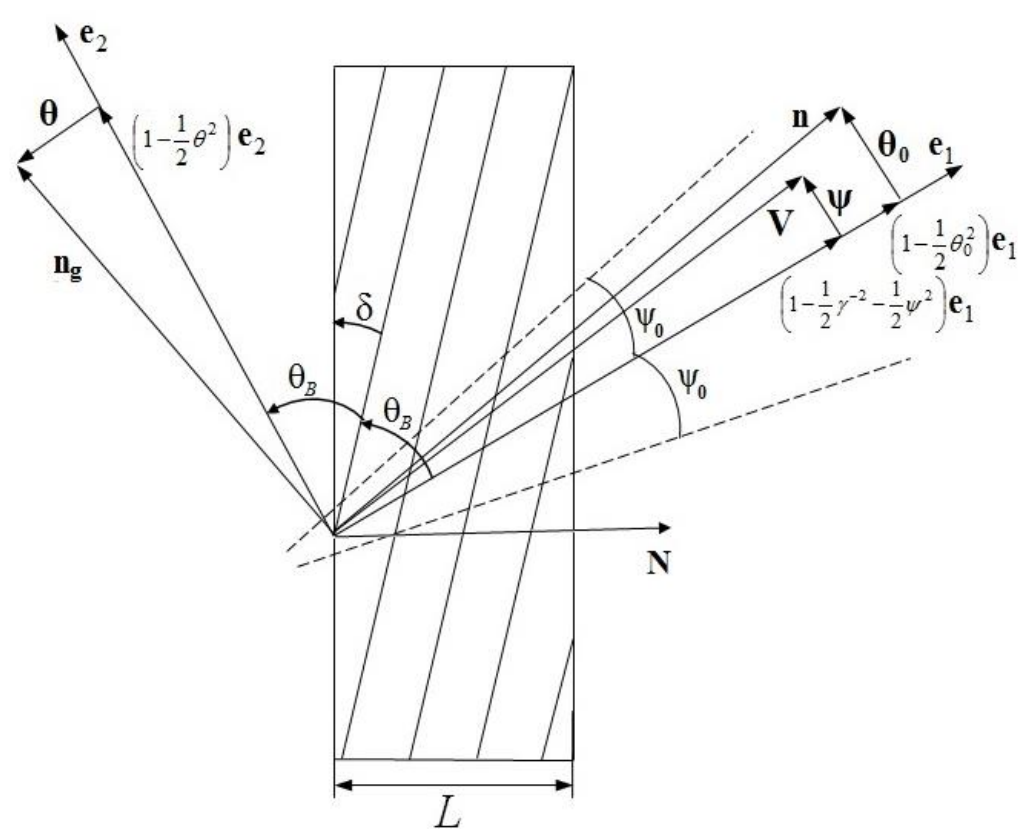
С. В. Блажевич¹⁾, А.В. Носков^{1,2)}, А.Э. Федосеев¹⁾,
А.И. Чуева¹⁾

¹⁾Белгородский государственный университет, Белгород, Россия

²⁾Белгородский государственный технологический университет им. В. Г. Шухова, Белгород, Россия

Развита теория когерентного рентгеновского излучения, генерируемого релятивистским электроном в периодической слоистой среде с двумя различными слоями на периоде. В геометрии рассеяния Брэгга рассматривается общий случай асимметричного отражения поля электрона относительно поверхности мишени. Получены выражения, описывающие спектрально-угловые характеристики ПИ и ДПИ в периодической слоистой среде с учетом многократного рассеяния электрона. Исследовано влияние многократного рассеяния электрона на характеристики рассматриваемых механизмов когерентного излучения. Выявлен значительный рост спектрально-угловой и угловой плотностей ДПИ при включении в расчет многократного рассеяния электрона. Данный эффект связан с подавлением составляющей поля ПИ, которая формируется при движении электрона в веществе мишени. Этот эффект отсутствует при ультрарелятивистских энергиях электронов и становится значительным при небольших значениях энергии электрона.

Рассмотрим пучок релятивистских электронов, пересекающих периодическую в геометрии рассеяния Брэгга (Рис.1), слоистую мишень, состоящую из чередующихся слоев толщиной l_1 и l_2 , и диэлектрическими восприимчивостями соответственно χ_1 и χ_2 ($T=l_1+l_2$ период слоистой мишени). Отражающие слои расположены под некоторым углом δ к поверхности мишени (Рис.1), что соответствует случаю асимметричного отражения поля излучения ($\delta=0$ - частный случай симметричного отражения). Получена спектрально-угловая плотность ПИ без учета и с учетом многократного



рассеяния:

$$\omega \frac{d^3 N_{PII}^{(s)}}{d\omega d\theta_{\perp} d\theta_{\parallel}} = F^{(s)} = F_1^{(s)} + F_2^{(s)} + F_{int}^{(s)},$$

$$F_{1PII}^{(s)} = 4 \frac{e^2}{\pi^2} \left(\frac{\Omega^{(s)}}{\Lambda} - \frac{\Omega^{(s)}}{\Lambda - \chi_0} \right)^2 \left| \frac{K^{(s)} \exp(-ib^{(s)}\Sigma^{(s)})}{\Delta^{(s)}} \right|^2, \text{ - переходное излучение от передней границы пластины}$$

$$F_{2PII}^{(s)} = \frac{e^2}{\pi^2} \left(\frac{\Omega^{(s)}}{\Lambda} - \frac{\Omega^{(s)}}{\Lambda - \chi_0} \right)^2, \text{ - переходное излучение от задней границы пластины}$$

$$F_{intPII}^{(s)} = 4 \frac{e^2}{\pi^2} \left(\frac{\Omega^{(s)}}{\Lambda} - \frac{\Omega^{(s)}}{\Lambda - \chi_0} \right)^2 \operatorname{Re} \left[\frac{K^{(s)} \exp(-ib^{(s)}\Sigma^{(s)})}{\Delta^{(s)}} \right], \text{ - интерференция ПИ от передней и задней границы пластины}$$

$$\Lambda = \gamma^{-2} + (\theta_{\perp} - \psi_{\perp})^2 + (\theta_{\parallel} - \psi_{\parallel})^2, \quad \Omega^{(1)} = \theta_{\perp} - \psi_{\perp}, \quad \Omega^{(2)} = \theta_{\parallel} - \psi_{\parallel}, \quad b^{(s)} = \frac{\omega \left| \sin\left(\frac{\pi n}{1+r}\right) \right| |\chi_2' - \chi_1'| C^{(s)}}{2\pi n \sin(\delta + \theta_B)} L, \quad \xi^{(s)}(\omega) = \eta^{(s)}(\omega) + \frac{1+\varepsilon}{2\nu^{(s)}}, \quad \varepsilon = \frac{\sin(\theta_B - \delta)}{\sin(\theta_B + \delta)},$$

$$\Delta^{(s)} = \left(\xi^{(s)} - i \frac{\rho^{(s)}(1+\varepsilon)}{2} - K^{(s)} \right) e^{-ib^{(s)}\frac{K^{(s)}}{\varepsilon}} - \left(\xi^{(s)} - i \frac{\rho^{(s)}(1+\varepsilon)}{2} + K^{(s)} \right) e^{ib^{(s)}\frac{K^{(s)}}{\varepsilon}}, \quad K^{(s)} = \sqrt{\xi^{(s)2} - \varepsilon - i\rho^{(s)}((1+\varepsilon)\xi^{(s)} - 2\kappa^{(s)}\varepsilon) - \rho^{(s)2} \left(\frac{(1+\varepsilon)^2}{4} - \kappa^{(s)2}\varepsilon \right)},$$

$$\eta^{(s)}(\omega) = \frac{2\pi^2 n^2}{T^2 \omega_B} L_{ext}^{(s)} \left(1 - \frac{\omega}{\omega_B} \left(1 - \theta_{\parallel} \sqrt{\frac{T^2 \omega_B^2}{\pi^2 n^2} - 1} \right) \right), \quad \rho^{(s)} = \frac{\chi_1'' + r\chi_2''}{1+r} \frac{\pi n}{\left| \sin\left(\frac{\pi n}{1+r}\right) \right| |\chi_2' - \chi_1'| C^{(s)}}, \quad \nu^{(s)} = \frac{C^{(s)} \left| \sin\left(\frac{\pi n}{1+r}\right) \right|}{\frac{\pi n}{1+r} |\chi_2' - \chi_1'|}, \quad \kappa^{(s)} = \frac{C^{(s)} \left| \sin\left(\frac{\pi n}{1+r}\right) \right|}{\frac{\pi n}{1+r} |\chi_1'' + r\chi_2''|}, \quad r = \frac{l_2}{l_1}, \quad \chi_0' = \frac{l_1\chi_1' + l_2\chi_2'}{T}$$

$\eta^{(s)}(\omega)$ – является быстрой функцией от частоты излучения

С учетом многократного рассеяния

$$\langle F_{1PII}^{(s)} \rangle = 4 \frac{e^2}{\pi^2} \frac{1}{L_e} \int_0^{L_e} \int_{-\infty}^{\infty} \int_{-\infty}^{\infty} \left(\frac{\Omega^{(s)0}}{\Lambda^0} - \frac{\Omega_{\Delta\Psi}^{(s)0}}{\Lambda_{\Delta\Psi}^0 - \chi_0} \right)^2 \left| \frac{K^{(s)} \exp(-ib^{(s)}\Sigma_{\Delta\Psi}^{(s)0})}{\Delta^{(s)}} \right|^2 \frac{1}{\pi \psi_s^2 t} \cdot e^{-\frac{\Delta\psi_{\perp}^2 + \Delta\psi_{\parallel}^2}{\psi_s^2 t}} d\Delta\psi_{\perp} d\Delta\psi_{\parallel} dt, \quad \langle F_{2PII}^{(s)} \rangle = \frac{e^2}{\pi^2} \frac{1}{L_e} \int_0^{L_e} \int_{-\infty}^{\infty} \int_{-\infty}^{\infty} \left(\frac{\Omega_{\Delta\Psi}^{(s)0}}{\Lambda_{\Delta\Psi}^0} - \frac{\Omega_{\Delta\Psi}^{(s)0}}{\Lambda_{\Delta\Psi}^0 - \chi_0} \right)^2 \frac{1}{\pi \psi_s^2 t} \cdot e^{-\frac{\Delta\psi_{\perp}^2 + \Delta\psi_{\parallel}^2}{\psi_s^2 t}} d\Delta\psi_{\perp} d\Delta\psi_{\parallel} dt,$$

$$\langle F_{intPII}^{(s)} \rangle = 4 \frac{e^2}{\pi^2} \frac{1}{L_e} \int_0^{L_e} \int_{-\infty}^{\infty} \int_{-\infty}^{\infty} \left(\frac{\Omega^{(s)0}}{\Lambda^0} - \frac{\Omega_{\Delta\Psi}^{(s)0}}{\Lambda_{\Delta\Psi}^0 - \chi_0} \right) \left(\frac{\Omega_{\Delta\Psi}^{(s)0}}{\Lambda_{\Delta\Psi}^0} - \frac{\Omega_{\Delta\Psi}^{(s)0}}{\Lambda_{\Delta\Psi}^0 - \chi_0} \right) \operatorname{Re} \left[\frac{K^{(s)} \exp(-ib^{(s)}\Sigma_{\Delta\Psi}^{(s)0})}{\Delta^{(s)}} \right] \frac{1}{\pi \psi_s^2 t} \cdot e^{-\frac{\Delta\psi_{\perp}^2 + \Delta\psi_{\parallel}^2}{\psi_s^2 t}} d\Delta\psi_{\perp} d\Delta\psi_{\parallel} dt,$$

$$\psi_s^2 = \frac{l_1\psi_1^2 + l_2\psi_2^2}{T}, \quad \psi_1^2 = \frac{E_s^2}{m^2\gamma^2} \frac{1}{L_R^1}, \quad \psi_2^2 = \frac{E_s^2}{m^2\gamma^2} \frac{1}{L_R^2} \text{ - средние квадраты углов многократного рассеяния на единице длины в рассматриваемых средах}$$

$$\Omega^{(1)0} = \theta_{\perp}, \quad \Omega^{(2)0} = \theta_{\parallel}, \quad \Omega_{\Delta\Psi}^{(1)0} = \theta_{\perp} - \Delta\psi_{\perp}, \quad \Omega_{\Delta\Psi}^{(2)0} = \theta_{\parallel} - \Delta\psi_{\parallel}, \quad \Lambda_{\Delta\Psi}^0 = \gamma^{-2} + (\theta_{\perp} - \Delta\psi_{\perp})^2 + (\theta_{\parallel} - \Delta\psi_{\parallel})^2, \quad \Lambda^0 = \gamma^{-2} + \theta_{\perp}^2 + \theta_{\parallel}^2, \quad E_s \approx \frac{4\pi m^2}{e^2} \approx 21 \text{ МэВ}$$

$$L_R^a, L_R^b \text{ - радиационные длины в материалах слоев.} \quad \sigma_{\Delta\Psi}^{(s)0} = \frac{\pi n}{\left| \sin\left(\frac{\pi n}{1+r}\right) \right| |\chi_2' - \chi_1'| C^{(s)}} \left(\Lambda_{\Delta\Psi}^0 - \frac{l_1\chi_1' + l_2\chi_2'}{T} \right), \quad \Sigma_{\Delta\Psi}^{(s)0} = \sigma_{\Delta\Psi}^{(s)0} + \frac{i\rho^{(s)}(1-\varepsilon)}{2\varepsilon} - \frac{\xi^{(s)}}{\varepsilon}.$$

Получена спектрально-угловая плотность ДПИ без учета и с учетом многократного рассеяния:

$$\omega \frac{d^3 N_{ДПИ}^{(s)}}{d\omega d\theta_{\perp} d\theta_{\parallel}} = F_{ДПИ}^{(s)} = \frac{e^2}{\pi^2} \left(\frac{\Omega^{(s)}}{\Delta(\theta_{\perp}, \theta_{\parallel}, \psi_{\perp}, \psi_{\parallel})} - \frac{\Omega^{(s)}}{\Delta(\theta_{\perp}, \theta_{\parallel}, \psi_{\perp}, \psi_{\parallel}) - \chi'_0} \right)^2 R_{ДПИ}^{(s)}, \quad R_{ДПИ}^{(s)} = \frac{\varepsilon^2}{\xi^{(s)2}(\omega) - (\xi^{(s)2}(\omega) - \varepsilon) \coth^2 \left(\frac{b^{(s)} \sqrt{\varepsilon - \xi^{(s)2}(\omega)}}{\varepsilon} \right)},$$

$$\left\langle \omega \frac{d^2 N_{ДПИ}^{(s)}}{d\omega d\theta_{\perp} d\theta_{\parallel}} \right\rangle_{\Delta\Psi} = \frac{e^2}{\pi^2} \frac{1}{L_e} \int_0^{L_e} \int_{-\infty}^{\infty} \int_{-\infty}^{\infty} \left(\frac{\Omega^{(s)}}{\Delta} - \frac{\Omega^{(s)}}{\Delta^* - \chi'_0} \right)^2 R_{ДПИ}^{(s)} \frac{1}{\pi \psi_s^2 t} \cdot e^{-\frac{\Delta\psi_{\perp}^2 + \Delta\psi_{\parallel}^2}{\psi_s^2 t}} d\Delta\psi_{\perp} d\Delta\psi_{\parallel} dt,$$

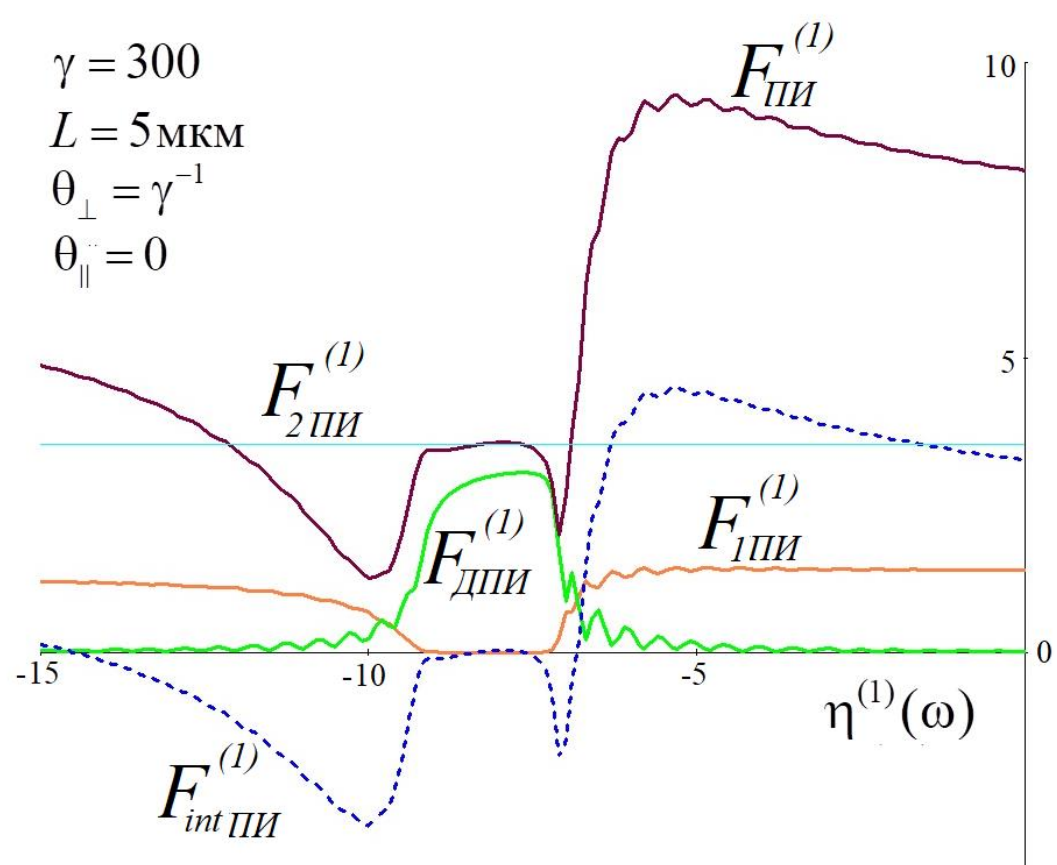
$$\Delta(\theta_{\perp}, \theta_{\parallel}, \psi_{\perp}, \psi_{\parallel}) = \gamma^{-2} + (\theta_{\perp} - \psi_{\perp})^2 + (\theta_{\parallel} + \psi_{\parallel})^2, \quad \Delta^*(\theta_{\perp}, \theta_{\parallel}, \psi_{\perp} + \Delta\psi_{\perp}, \psi_{\parallel} + \Delta\psi_{\parallel}) = \gamma^{-2} + (\theta_{\perp} - (\psi_{\perp} + \Delta\psi_{\perp}))^2 + (\theta_{\parallel} + (\psi_{\parallel} + \Delta\psi_{\parallel}))^2, \quad \Omega^{(1)} = \theta_{\perp} - \psi_{\perp}, \quad \Omega^{(2)} = \theta_{\parallel} + \psi_{\parallel}.$$

По величине t , которая представляет собой путь, пройденный электроном в периодической среде, проведено интегрирование в пределах от нуля до полной длины пути электрона в мишени L_e .

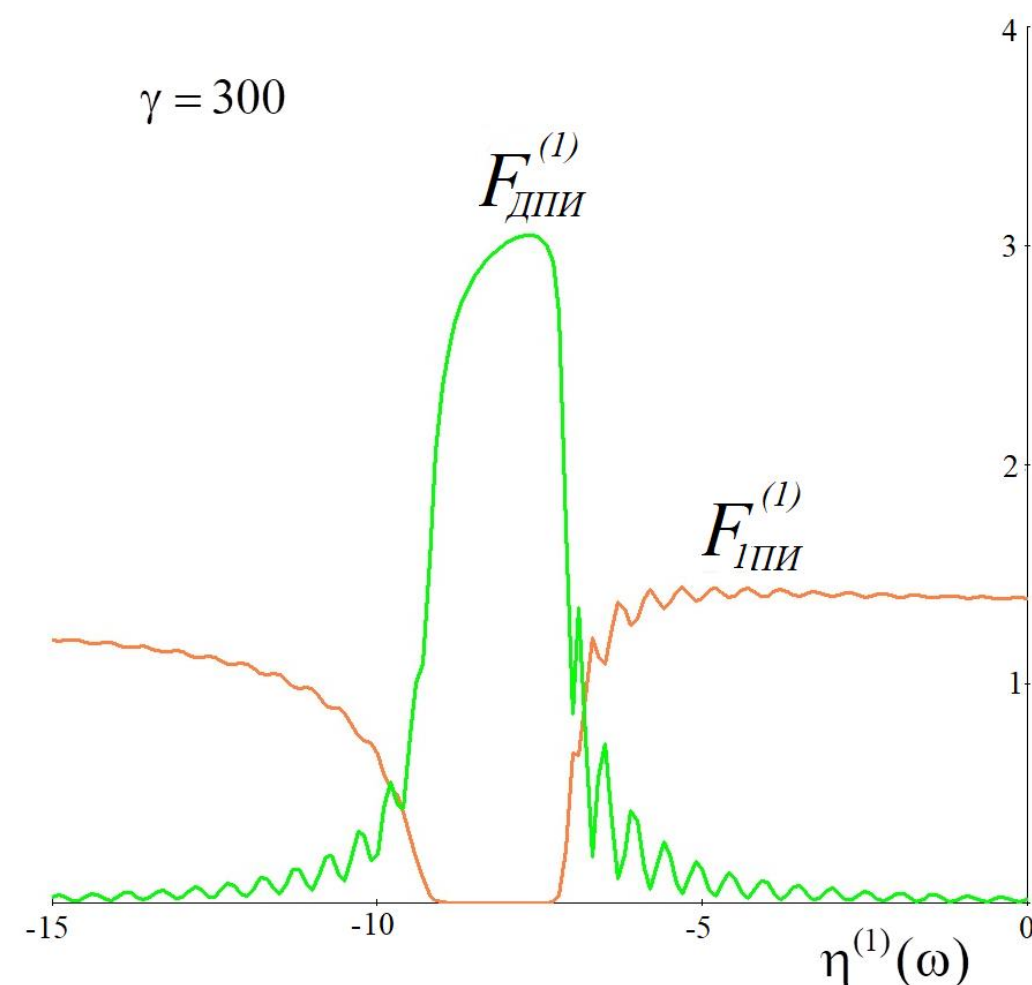
Численные расчеты

Используя полученные выражения проведем численные расчеты спектрально-угловой плотности излучения. Будем рассматривать когерентное рентгеновское излучение пучка релятивистских электронов пересекающих мишень толщиной $L = 2$ мкм состоящую из периодически расположенных слоев углерода и вольфрама (C-Si) с периодом $T = l_1 + l_2 = 0.002$ мкм, $l_1 = l_2 = 0.001$ мкм для случая симметричного отражения, когда слои мишени параллельны поверхности мишени ($\delta = 0, \varepsilon = 1$). Положим угол между осью пучка релятивистских электронов и отражающими слоями (угол Брэгга) $\theta_B = 2.25^\circ$, при этом частота Брэгга $\omega_B = 8$ кэВ. Расчеты будем проводить для $s = 1$ (σ - поляризованные волны).

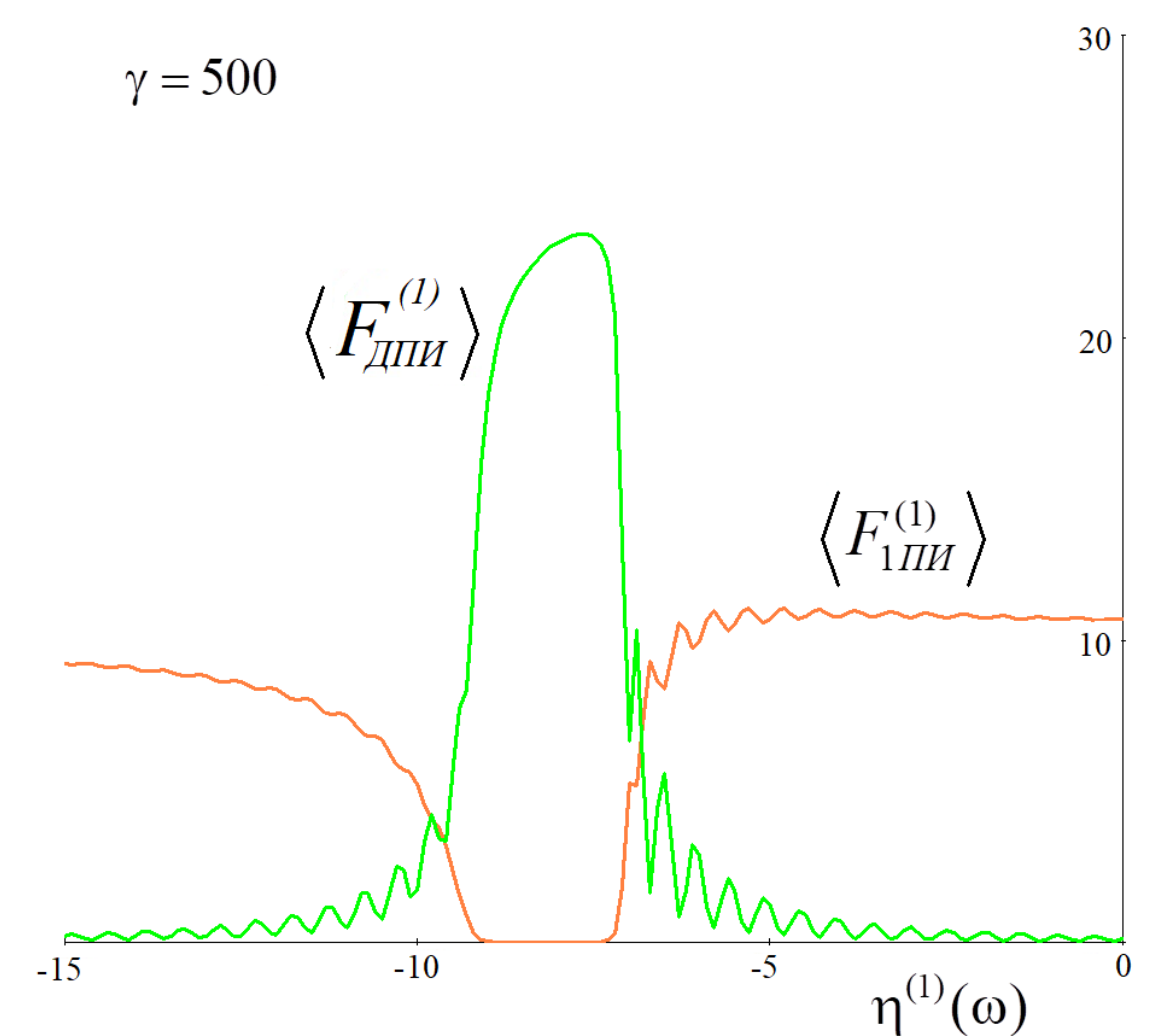
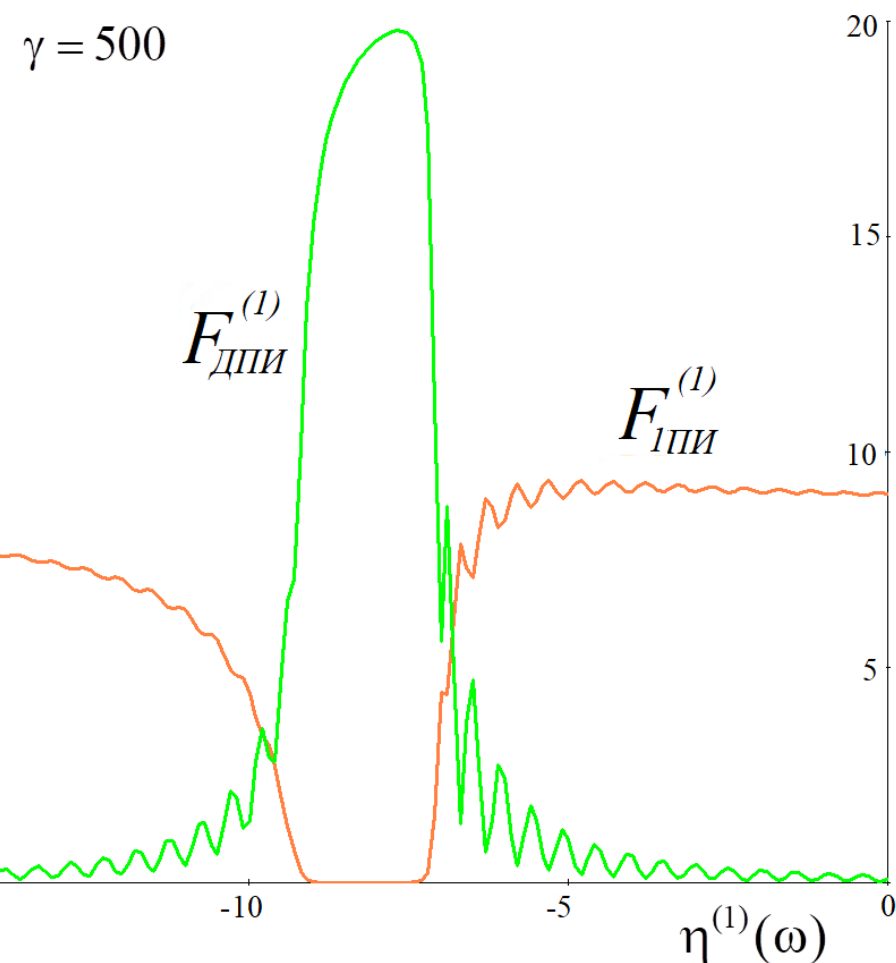
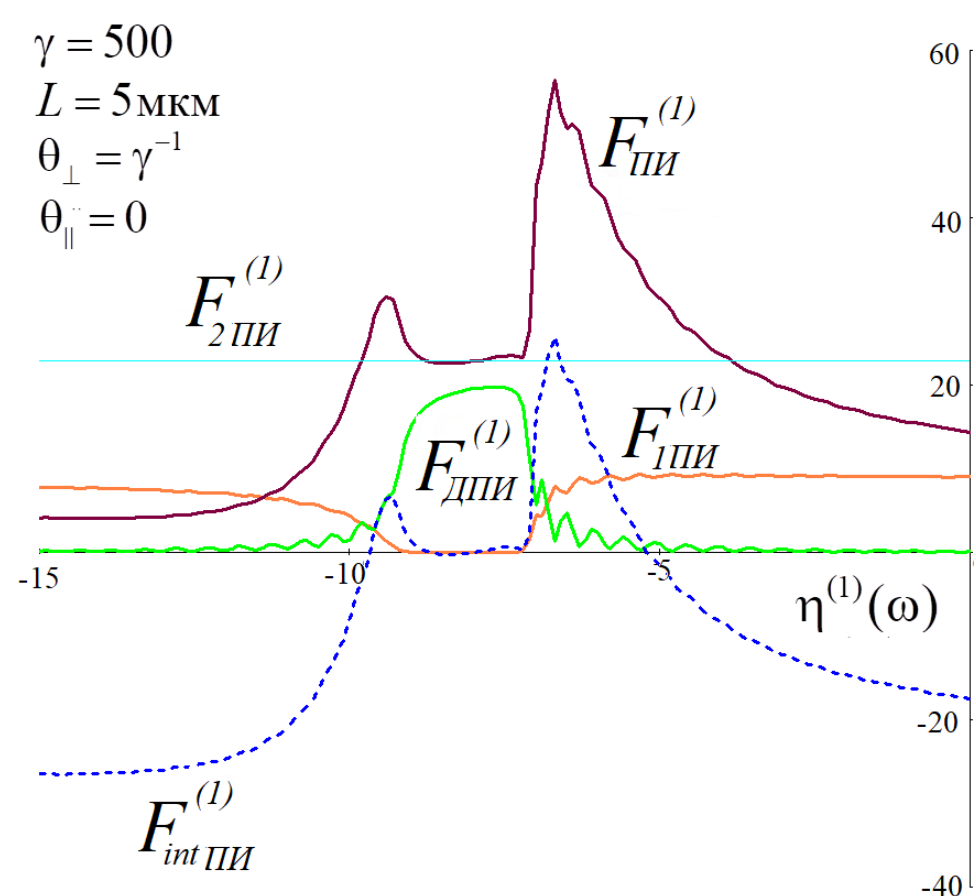
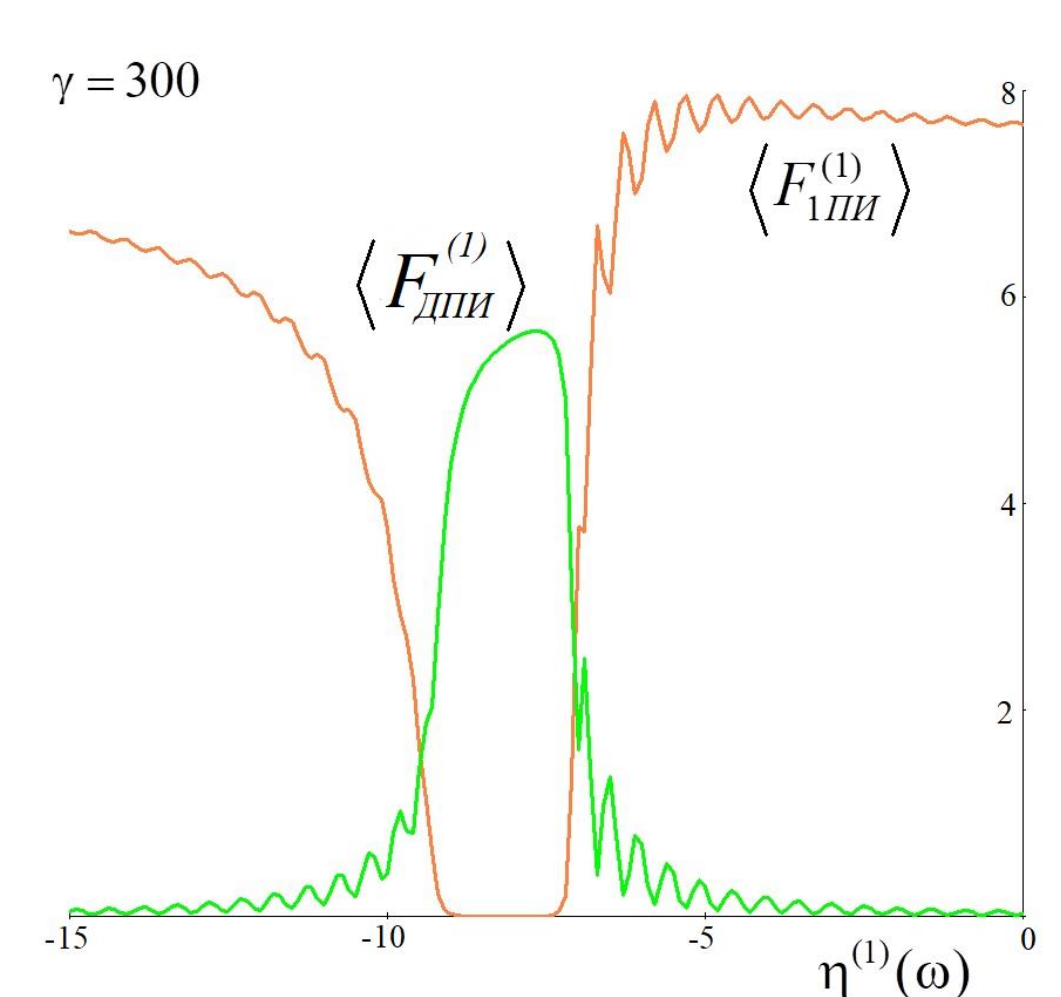
Спектрально-угловые плотности
ПИ и ДПИ без многократного рассеяния



Спектрально-угловые плотности
ДПИ и ПИ от первой границы
без многократного рассеяния



Спектрально-угловые плотности
ДПИ и ПИ от первой границы
с многократным рассеянием



Результаты

- 1.Спектрально-угловые плотности ПИ и ДПИ при фиксированном угле наблюдения зависят от многократного рассеяния электронов в периодической слоистой среде.
- 2.Выявлено, что при учете многократного рассеяния, при определенных условиях, спектрально-угловые плотность ПИ и ДПИ могут существенно возрасти по сравнению со спектрально-угловыми плотностями ПИ и ДПИ без учета многократного рассеяния.
- 3.Данный эффект возникает, когда длина когерентности ПИ в слоистой среде сравнима с длиной когерентности ПИ в вакууме, то есть при небольших энергиях релятивистского электрона. При увеличении энергии электронов эффект пропадает.